

九州大学工学部 正員 後藤恵之輔

1. 解法

文献(1)に示す複素変数法と迷点法の併用法を用う。対象とする帯板は中立軸方向に無限の位置で純せん断を受けるが、迷点法の適用を可能からしめるため、次式モデル化を行ふ。すなはち、文献(2), (3)およびその他の研究によれば、同一形状、等間隔の孔の列をもつ帯板の引張りおよび曲げにおいて、孔中心間距離が帯板高さの1.5倍以上あるとき、孔縁近傍の応力は隣接孔の影響を受けてない。したがって、本問題では、孔中心から $1/2$ 帯板高さの1.5倍の位置にせん断力を作用させることにより、等価の荷重状態がえらばることになる。このとき、せん断位置における応力状態を Fig. 1 の帯板を例にとって示せば、次のとおりである。ただし、せん断応力に対してはハラゴラ形およびく形の二種の分布状態を考え、曲げ応力は直線分布とする。第1象限について

$$\begin{aligned} \sigma_x &= 3PQ/(2h^3t) \cdot y \\ \tau_{xy} &= 3P/(4ht) \cdot \left\{ 1 - \left(\frac{y}{h} \right)^2 \text{ or } P/(2ht) \right\} \end{aligned} \quad (1)$$

2. 計算例

(1) 円孔

Fig. 1 に示すごとく、1円孔をもつ帯板において、 $x = 土$ と $y = 土 h$ とで囲まれた領域を考える。この場合、荷重および構造の対称性から第1象限のみを取り上げて、応力関数は次式で仮定される。

$$\begin{aligned} \Psi(z) &= \sum_{k=3,5,7}^{K+2} iB_k z^k + \sum_{k=1,3,5}^{\infty} i b_k z^{-k} \\ \Phi(z) &= \sum_{k=1,3,5}^K iC_k z^k + \sum_{k=1,3,5}^{\infty} i c_k z^{-k} \end{aligned} \quad (2)$$

ただし $z = x + iy$.

ここに、 B_k^2, b_k^2, C_k^2 および c_k^2 はいずれも実数係数で、 b_k^2 と c_k^2 は孔縁自由条件より B_k^2 および C_k^2 の関数として表わされる。

迷点を文献(3)におけると同様に $x = l$ 上に M_1 個、 $y = h$ 上に M_2 個採って、迷点数と応力集中係数 (S.C.F.) $= (\delta_t)_{\max}/(\delta_t)$ との関係を Table 1 に示す。二通り大きな孔に対するても、 $M_1 = M_2 = 5$ とし、実用上充分な解がえらばることがわかる。

本法の解を Howland and Stevenson の結果(文献(4))と比較すれば Table 2 のごとくなり、本法は少しく大

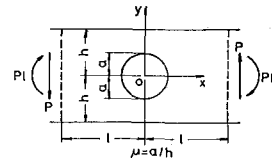


Fig. 1.

Table 1.

μ	$M_1 = M_2$		
	5	6	7
0.5	10.106	10.141	10.112
0.6	12.860	12.962	12.861
0.7	18.315	18.777	18.182

Table 2.

μ	0.1	0.2	0.3	0.4	0.5
Author	6.132	6.545	7.282	8.414	10.106
Howland + Stevenson	6.14	6.54	7.26	8.36	9.98

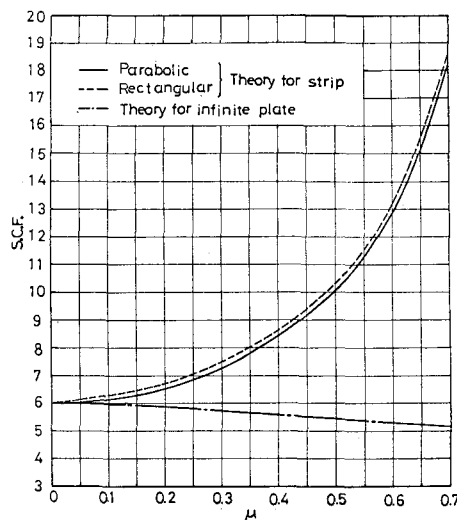


Fig. 2.

きめの値を与えるが、大体良く一致している。

Table 1, 2ともにせん断位置における τ_{xy} をパラボラ分布としているが、く形分布とした場合 S.C.F.

がいかに影響を受けるかを示したのが Fig. 2

である。S.C.F. はせん断位置における τ_{xy} の分布形状に余り関係なく、St.Venant's 原理が成立している。これは $\lambda = 1.5$ としたことに大誤なきことを意味するものである。また、Fig. 2 には無限板理論による値も付記してあるが、本理論は全く逆の傾向を示し、無限板理論の純せん断内題への適用性が小さな孔 ($\mu \leq 0.1$) に限られることがわかる。

(2) 円孔

Fig. 3 参照。遠点の採り方は円孔の場合と同様であり、この場合も $M_1 = M_2 = 5$ として実用上満足すべき解がえられた。Fig. 4 は応力集中係数 (S.C.F.) と形状比 (γ) の関係を示すもので、一点鎖線は最小の S.C.F. の位置である。これより各孔の値に対して最小の S.C.F. をえらぶ(最適形状比)の図として、

Fig. 5 をうる。

(3) 正方形孔

Fig. 6 参照。応力集中係数を各 γ に対し、 μ をパラメータとして Fig. 7 に示す。本理論と無限板理論とも比較すれば、Fig. 8 を見、無限板理論は全く逆の傾向を有することが認められる。

1) 後藤、九大工学集報、45-1(1912)。

2) 後藤・小八重、九大工学集報、45-4(1912)。

3) 後藤、第2回応用力学連合講演会論文抄録集(1912)。

4) R.C.J. Howland and A.C. Stevenson,

Phil. Trans. Roy. Soc. Lond., A, 232(1934)。

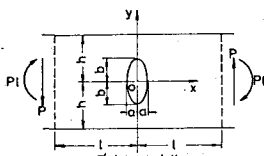


Fig. 3.

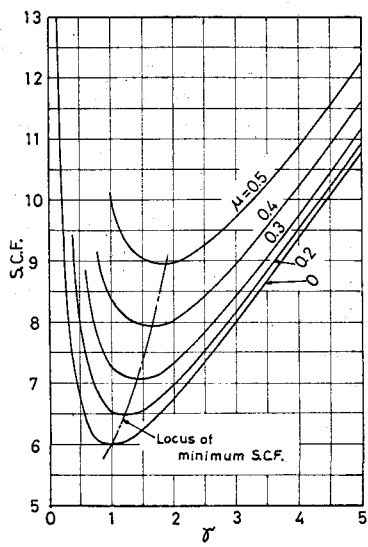


Fig. 4.

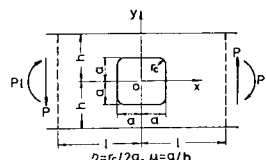


Fig. 6.

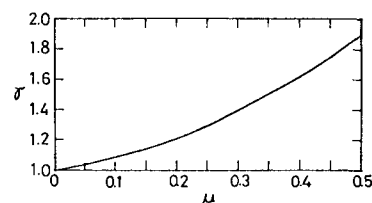


Fig. 5.

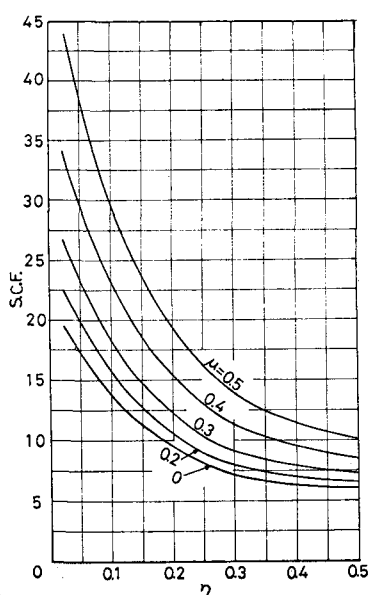


Fig. 7.

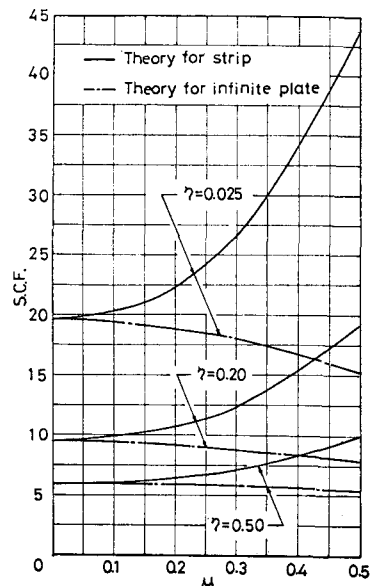


Fig. 8.